

九州大学工学部 正員 内田一郎  
同上 " 村田重之

**1. まえがき** 土の中を水が流れると、土の骨格を構成する土粒子には粘性抵抗が働くため、土粒子は流れの方向に力を受ける。この力は浸透水圧と呼ばれ、クイックサンドやパイピングなどを引き起し、それがひいてはアースダムや河川堤防など土構造物の破壊につながり、社会的にも大きな問題となってくる。これらの破壊現象は、破壊が連鎖反応的に進むいわゆる進行性破壊のひとつみなされるが、破壊に至る過程においては浸透水圧の作用による土の強度低下が問題となってくると思われる。

本研究はこの点に注目し、浸透水圧を受けている土のせん断強度がどのように変化するかを明らかにすることを目的にしている。著者らはすでに豊浦砂 ( $G_s = 2.64$ , 均等係数 1.4) について実験を行ない次のようないくつかの結果を得ている。  
(1) 浸透水圧が土の強度に何らかの形で影響を及ぼしているようで、間隙水が流れを持っている場合無視できない問題となりそうである。  
(2) 間隙水の流速が速くなると強度が急激に低下し、特に抱束圧の小さい場合にはわずかな流速の増加で強度が失なわれる。  
(3) ダルシーの法則の正確には成立しない領域においても間隙水圧の取り方によって有効応力の概念が適用できそうである。

今回はこれららの結果が一般的な粒度分布の砂についても適用できることかどうかを確かめる目的で、試料に九大砂 ( $G_s = 2.64$ , 均等係数 4.5) を使用し実験を行ない同様の結果がえられたのでここに報告する。

**2. 供試体と実験方法** 供試体の寸法は直径 5.0 cm, 高さ 12.6 cm の円筒型で、初期間隙水圧比は 0.59 である。供試体の作成および実験方法については紙面の都合上文献(1)を参照されたい。なお今回の九大砂の実験は透水型についてのみ行なったものである。

### 3. 結果と考察

#### (1) 透水性

豊浦砂の場合と同様に透水係数 ( $k$ ) は  $k_w/\sigma_3$  ( $k_w$ : 浸透水圧,  $\sigma_3$ : 側圧) の増加によってわずかに低下していく。

異なる点は、豊浦砂では圧縮とせん断の両過程を通じてひとつの試験中透水係数にはほとんど変化はないかったのにに対し、九大砂ではせん断を始めると透水係数が徐々に低下してきた。

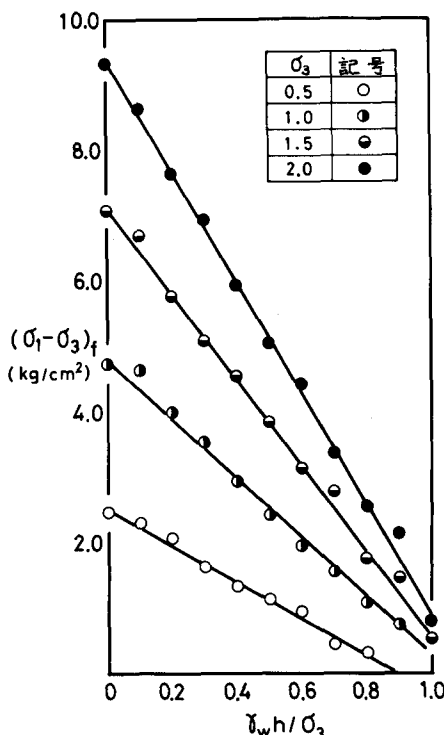


図-1 ピーク時の軸差応力と  $\eta_w/\sigma_3$  の関係

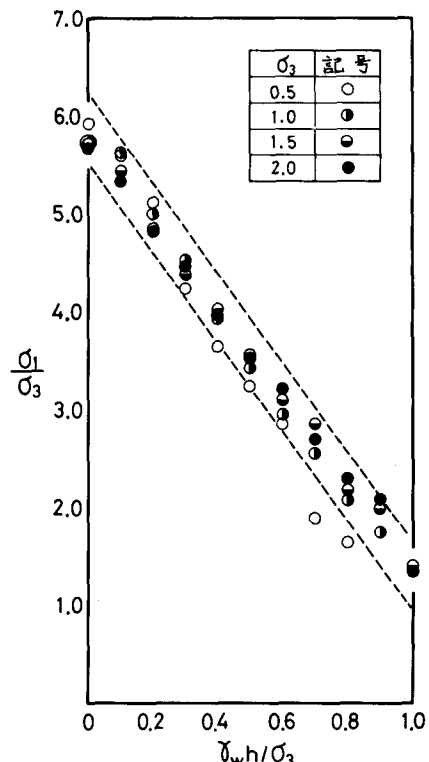


図-2 主応力比と  $\eta_w/\sigma_3$  の関係

これはセン断による粒子の再配列によって間ゲキ水の流路が変化が生じ、流れによって動かされ易い微粒子が流路に流れ込んだためと思われる。

## (2) 軸差応力

図-1はピーク時の軸差応力 $[(\sigma_1 - \sigma_3)_f]$ と $\tau_{wh}/\sigma_3$ の関係を示したものである。この関係は豊浦砂ではわずかに曲線的となつたが、今回の九大砂では直線的な関係がえられるでいる。同様なことが図-2の主応力比 $\sigma_1/\sigma_3$ と $\tau_{wh}/\sigma_3$ の関係についてもえられており、これらを総合すると $(\sigma_1 - \sigma_3)_f$ と $\tau_{wh}/\sigma_3$ の関係が直線的であれば $\sigma_1/\sigma_3$ と $\tau_{wh}/\sigma_3$ の関係も直線になり、直線でない場合は直線となるようである。

ここで注目しておきたい点は、豊浦砂に比べて九大砂の方が $\tau_{wh}/\sigma_3$ の増加による $(\sigma_1 - \sigma_3)_f$ の低下が大きいことである。したがって豊浦砂のような粒径の均一な砂より、九大砂のような粒度分布の良い砂の方が浸透水圧の影響を大きく受け強度低下が著しいと言えよう。

図-3は $(\sigma_1 - \sigma_3)_f$ と流速( $V$ )の関係を示したものであるが、これも流速が速くなると強度が急激に低下していくという豊浦砂と同様の結果がえられている。しかし強度の低下する様子は、豊浦砂が曲線で近似でそれをに対し、九大砂ではバラッキはあるものの直線的な関係となつていて。この差異が何に原因するものか明るかではないが、粒度分布の違いがかなり影響しているのではないかと思われる。いずれにしても強度の低下が流速の増加によって急激に表われ、その低下の割合は側圧の大きさに関係なくほぼ一定のようである。

(3) 強度定数 図-4は内部摩擦角( $\phi$ )と $\tau_{wh}/\sigma_3$ の関係を示したものである。豊浦砂の場合と同様に全応力表示による $\phi$ は $\tau_{wh}/\sigma_3$ の増加によって急激に低下していく。しかしながら浸透水圧の増加によって当然間ゲキ水圧も増加するわけはどうしても有効応力的な見方が必要となってくる。そこで豊浦砂でトライアルによって推定して間ゲキ水圧( $U = 0.7 \tau_{wh}$ )を使つて有効応力表示によつて求めた $\phi$ が図中の○印である。しかしこれではまだ有効応力を説明するには不十分で、新たな間ゲキ水圧の推定が必要である。

4. まとめ 以上の結果より、一般的な粒度分布を持つとみなされる九大砂においても豊浦砂とほぼ同様の結論がえられたが、さうに次のようなことが明るかとなつた。(1) 浸透水圧による強度の低下は豊浦砂より九大砂の方が大きく、その低下の割合はほぼ直線的である。(2) 流速の増加による強度の低下の割合は側圧に関係なくほぼ一定である。(3) ダルシーの法則の正確には成立しない領域においても間ゲキ水圧の取り方によって有効応力の概念を適用できそうであるが、間ゲキ水圧の大きさは一率には取りえないようである。(参考文献) 内田・村田、浸透水圧を受ける砂のセン断強度について、第13回土質工学研究発表会、P-441-444、1963年6月

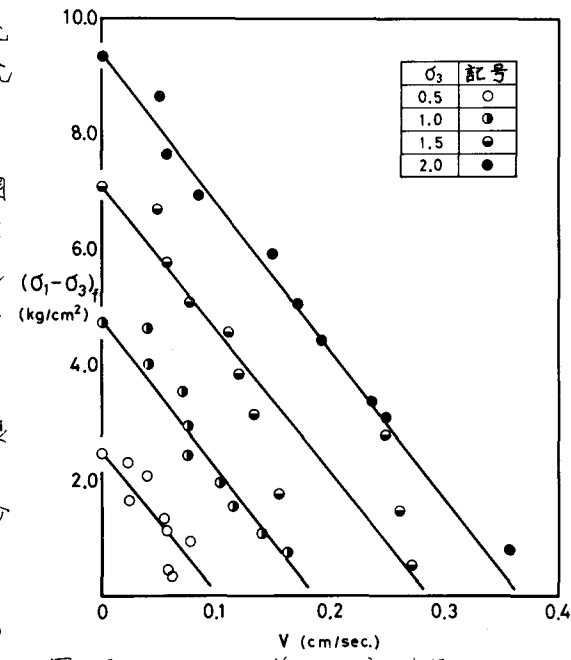


図-3 ピーク時の軸差応力と流速関係

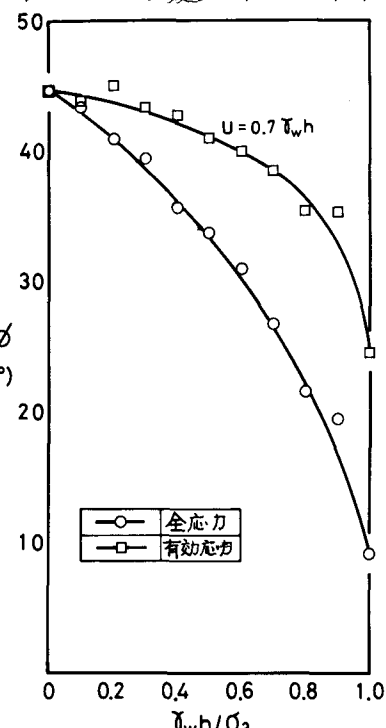


図-4 内部摩擦角と $\tau_{wh}/\sigma_3$ 関係